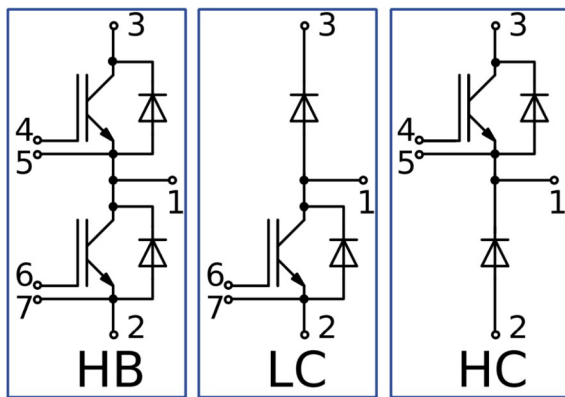
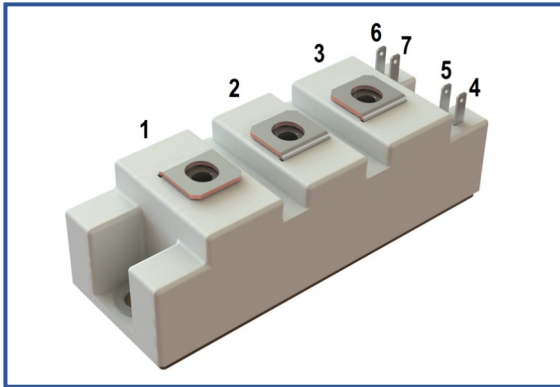


IGBT модуль в стандартном корпусе 34мм
1700 В 75 А

Особенности чипов

- IGBT чип
 - Trench FS
 - низкое значение $U_{CE(sat)}$
 - длительность КЗ 10 мкс при 150°C
 - квадратная область RBSOA при 2xIc
 - низкое ЭМИ
- FRD чип
 - быстрое и мягкое восстановление
 - низкое падение напряжения

Особенности конструкции

- медное основание
- Al_2O_3 DBC подложки
- ультразвуковая приварка силовых выводов
- улучшенная стойкость к термоциклам
- соответствие RoHS
- сертифицирован UL, файл № E255404

Типовые применения

- приводы двигателей переменного тока
- преобразователи на основе солнечных батарей
- системы кондиционирования воздуха
- преобразователи высокой мощности и ИБП

Предельно допустимые значения параметров

Параметр	Обозн.	Условия	Знач.	Ед.
IGBT				
Напряжение коллектор-эмиттер	U_{CES}	$U_{GE} = 0.$	1700	В
Номинальный ток коллектора	$I_{C nom}$		75	А
Постоянный ток коллектора	$I_{C 25}$	$T_{vj(max)} = 175^{\circ}C; T_c = 25^{\circ}C.$	115	А
	$I_{C 80}$	$T_{vj(max)} = 175^{\circ}C; T_c = 80^{\circ}C.$	88	А
Максимальный повторяющийся импульсный ток коллектора*1	I_{CRM}	$I_{CRM} = 3 \times I_{C nom}; t_p = 1 \text{ мс.}$	225	А
Длительность импульсного тока короткого замыкания	t_{psc}	$T_{vj} = 25^{\circ}C; U_{GE} = \pm 15 \text{ В}; U_{CE} = 1000 \text{ В}; R_{G on} = R_{G off} = 2.0 \text{ Ом}; I_{C max} < 750 \text{ А.}$	10	мкс
		$T_{vj} = 150^{\circ}C; U_{GE} = \pm 15 \text{ В}; U_{CE} = 1000 \text{ В}; R_{G on} = R_{G off} = 2.0 \text{ Ом}; I_{C max} < 620 \text{ А.}$	10	
Напряжение затвор-эмиттер	U_{GES}		± 20	В
Рабочая температура перехода	$T_{vj(op)}$		-40...+150	°C
Диод чоппера/Обратно-параллельный диод.				
Повторяющееся импульсное обратное напряжение	U_{RRM}	$U_{GE} = 0 \text{ В.}$	1700	В
Номинальный прямой ток	$I_{F nom}$		75	А
Постоянный прямой ток	$I_{F 25}$	$T_{vj(max)} = 175^{\circ}C; T_c = 25^{\circ}C.$	88	А
	$I_{F 80}$	$T_{vj(max)} = 175^{\circ}C; T_c = 80^{\circ}C.$	66	А
Повторяющийся прямой импульсный ток*1	I_{FRM}	$I_{FRM} = 3 \times I_{F nom}; t_p = 1 \text{ мс.}$	225	А
Рабочая температура перехода	$T_{vj(op)}$		-40...+150	°C
Модуль				
Температура хранения	T_{stg}		-55...+50	°C
Напряжение пробоя изоляции	U_{isol}	AC sin 50 Гц; t = 1 мин.	4000	В

*1 Длительность импульса и частота повторения должна быть такой, чтобы температура перехода не превышала $T_{vj max}$.

Характеристики

Параметр	Обозн.	Условия	Знач.			Ед.	
			мин.	тип.	макс.		
IGBT							
Напряжение насыщения коллектор-эмиттер	U_{CEsat}	$U_{GE} = +15 \text{ В}; I_C = 75 \text{ А}; t_u = 1000 \text{ мкс.}$	$T_{vj} = 25^\circ\text{C}$	2.06	2.08	2.25	В
			$T_{vj} = 150^\circ\text{C}$	2.79	2.89	3.24	В
Пороговое напряжение затвор-эмиттер	$U_{GE(th)}$	$I_C = 3 \text{ мА}; U_{CE} = U_{GE}; T_{vj} = 25^\circ\text{C}; t_u = 2 \text{ мс.}$		5.31	5.62	6.33	В
Ток утечки коллектор-эмиттер	I_{CES}	$U_{CE} = 1700 \text{ В}; t_u = 50 \text{ мс}; U_{GE} = 0.$	$T_{vj} = 25^\circ\text{C}$	3.95	5.66	300	мкА
			$T_{vj} = 150^\circ\text{C}$	0.34	0.44	2.00	мА
Ток утечки затвор-эмиттер	I_{GES}	$U_{CE} = 0; U_{GE} = \pm 20 \text{ В}; T_{vj} = 25^\circ\text{C}; t_u = 30 \text{ мс.}$		2.30	15.2	500	нА
Входная ёмкость	C_{ies}	$U_{CE} = 10 \text{ В}; U_{GE} = 0 \text{ В}; f = 1 \text{ МГц}; T_{vj} = 25^\circ\text{C}.$		-	7.50	-	нФ
Выходная ёмкость	C_{oes}			-	0.40	-	нФ
Обратная передаточная ёмкость	C_{res}			-	0.50	-	нФ
Заряд затвора	Q_G	$I_C = 75 \text{ А}; U_{CE} = 920 \text{ В}; U_{GE} = - 8 \div 15 \text{ В.}$		-	866	924	нКл
Встроенный резистор затвора	R_{Gint}	$T_{vj} = 25^\circ\text{C}.$		-	10.0	-	Ом
Время задержки включения	$t_{d(on)}$	$U_{CE} = 920 \text{ В}; U_{GE} = \pm 15 \text{ В}; I_{Cmax} = 75 \text{ А}; R_{Gon} = 2.2 \text{ Ом}; L = 56 \text{ нГн.}$	$T_{vj} = 25^\circ\text{C}$	328	336	430	нс
			$T_{vj} = 150^\circ\text{C}$	376	384	490	
Время нарастания тока коллектора	t_{ri}		$T_{vj} = 25^\circ\text{C}$	30.0	32.0	40.0	нс
			$T_{vj} = 150^\circ\text{C}$	35.0	37.0	50.0	
Энергия потерь при включении	E_{on}		$T_{vj} = 25^\circ\text{C}$	9.00	10.0	16.0	мДж
			$T_{vj} = 150^\circ\text{C}$	16.0	17.0	23.0	
Время задержки выключения	$t_{d(off)}$		$T_{vj} = 25^\circ\text{C}$	360	370	430	нс
			$T_{vj} = 150^\circ\text{C}$	430	430	490	
Время спада тока коллектора	t_{fi}		$T_{vj} = 25^\circ\text{C}$	588	616	1050	нс
			$T_{vj} = 150^\circ\text{C}$	792	864	1100	
Энергия потерь при выключении	E_{off}	$T_{vj} = 25^\circ\text{C}$	15.0	16.0	23.0	мДж	
		$T_{vj} = 150^\circ\text{C}$	21.0	23.0	30.0		
Пороговое напряжение коллектор-эмиттер	U_{CE0}	$U_{GE} = +15 \text{ В}; T_{vj} = 150^\circ\text{C}; I_{CE1} = 19 \text{ А}; I_{CE2} = 75 \text{ А}; t_u = 1000 \text{ мкс.}$		1.02	1.05	1.07	В
Динамическое сопротивление	r_{CE0}			23.20	24.60	26.79	МОм
Тепловое сопротивление переход-корпус	$R_{th(j-c)}$	$DC; I_{CE} = 80 \pm 10 \text{ А}; I_{test} = 0.5 \text{ А}; U_{GE} = +15 \text{ В.}$		-	0.290	0.312	К/Вт
Диод чоппера\Обратно-параллельный диод.							
Постоянное прямое напряжение	U_F	$I_F = 75 \text{ А}; U_{GE} = 0; t_u = 1000 \text{ мкс.}$	$T_{vj} = 25^\circ\text{C}$	1.83	1.86	2.00	В
			$T_{vj} = 150^\circ\text{C}$	2.13	2.26	2.50	В
Время обратного восстановления	t_{rr}		$T_{vj} = 25^\circ\text{C}$	134	163	220	нс
			$T_{vj} = 150^\circ\text{C}$	245	304	380	нс
Импульсный ток обратного восстановления	I_{rr}		$T_{vj} = 25^\circ\text{C}$	99.0	103	140	А
			$T_{vj} = 150^\circ\text{C}$	107	112	140	А
Заряд обратного восстановления	Q_{rr}		$T_{vj} = 25^\circ\text{C}$	8.00	9.00	12.0	мкКл
			$T_{vj} = 150^\circ\text{C}$	13.0	15.0	20.0	мкКл
Энергия потерь при обратном восстановлении	E_{rec}		$T_{vj} = 25^\circ\text{C}$	7.00	7.00	10.0	мДж
			$T_{vj} = 150^\circ\text{C}$	13.0	14.0	17.0	мДж
Пороговое напряжение	$U_{(T0)}$	$T_{vj} = 150^\circ\text{C}; U_{GE} = 0; I_{CE1} = 19 \text{ А}; I_{CE2} = 75 \text{ А}; t_u = 1000 \text{ мкс}$		0.90	0.93	0.97	В
Динамическое сопротивление	r_T			16.10	17.60	19.64	МОм
Тепловое сопротивление переход-корпус	$R_{th(JC-D)}$	$DC; I_{CE} = 70 \pm 10 \text{ А}; I_{test} = 0.5 \text{ А}; U_{GE} = +15 \text{ В.}$		-	0.582	0.629	К/Вт

Модуль							
Сопротивление выводов	R_{Pxy}	$T_{vj} = 25^{\circ}\text{C}$.	R_{P12}	-	0.47	0.50	МОм
			R_{P13}	-	0.66	0.66	
Паразитная индуктивность модуля между силовыми выводами	L_{Pce}			-	27	-	нГн
Тепловое сопротивление корпус-охладитель	R_{thCH}	для модуля		-	0.02	0.04	К/Вт
Момент затягивания винтов корпуса	M_s	к охладителю М6		3.00	-	5.00	Н*м
Момент затягивания на силовых выводах	M_t	к клеммам М5		1.80	2.00	2.20	Н*м
Вес	W			-	153	170	г

Примечания:

- Рабочая температура корпуса и изоляционных материалов не должна превышать $T_c = 125^{\circ}\text{C}$ макс;
- Рекомендуемая рабочая температура кристалла $T_{vj\text{ op}} = -40 \div +150^{\circ}\text{C}$.
- №ТУ 3417-065-41687291-2016.

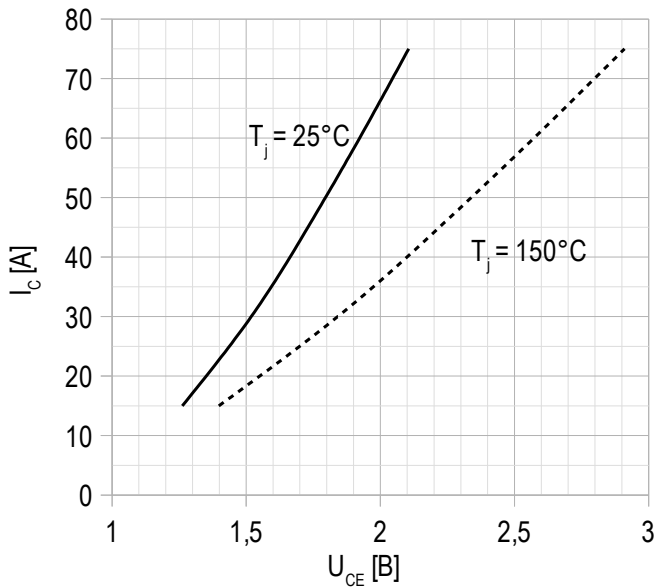
Рисунок 1 – типичная выходная характеристика, IGBT.

 $U_{GE} = +15\text{ V}$.

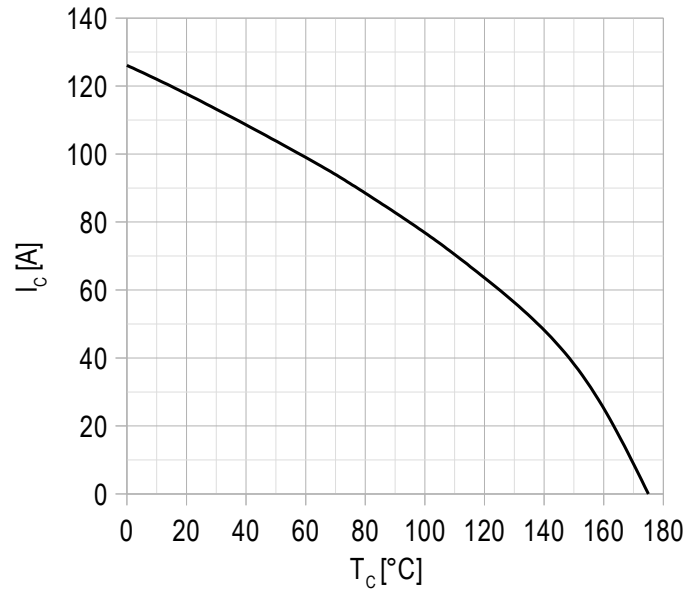
Рисунок 2 – максимальная зависимость тока коллектора от температуры корпуса.

 Постоянный ток;
 $U_{GE} = +15\text{ V}$;
 $T_{vj(max)} = 175^\circ\text{C}$.

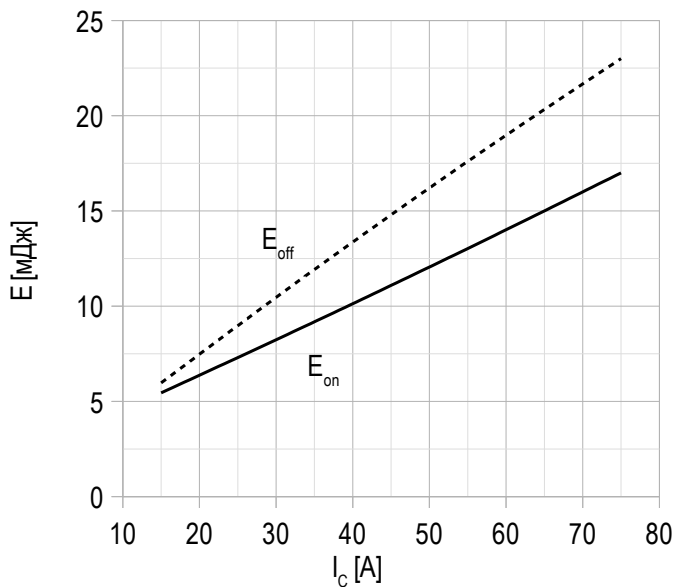
Рисунок 3 – типичная энергия переключения от тока коллектора, IGBT.

 $U_{CE} = 920\text{ V}$;
 $U_{GE} = \pm 15\text{ V}$;
 $R_G = 2.2\text{ Ом}$;
 $L = 56\text{ нГн}$;
 $T_{vj(max)} = 150^\circ\text{C}$.

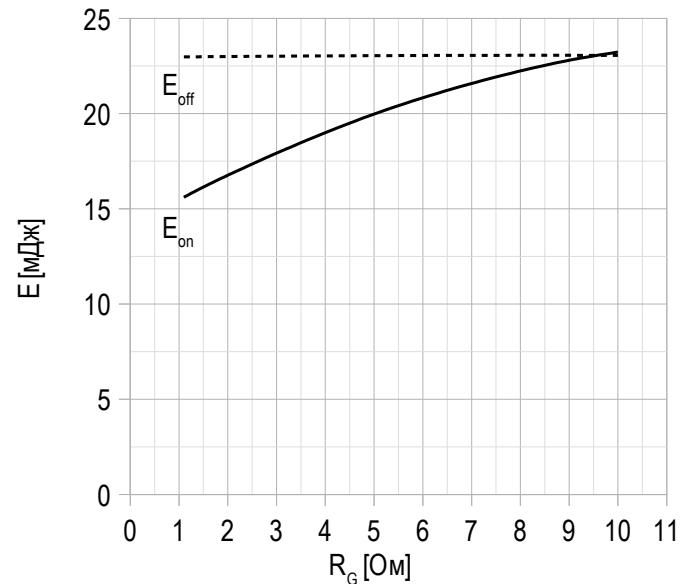
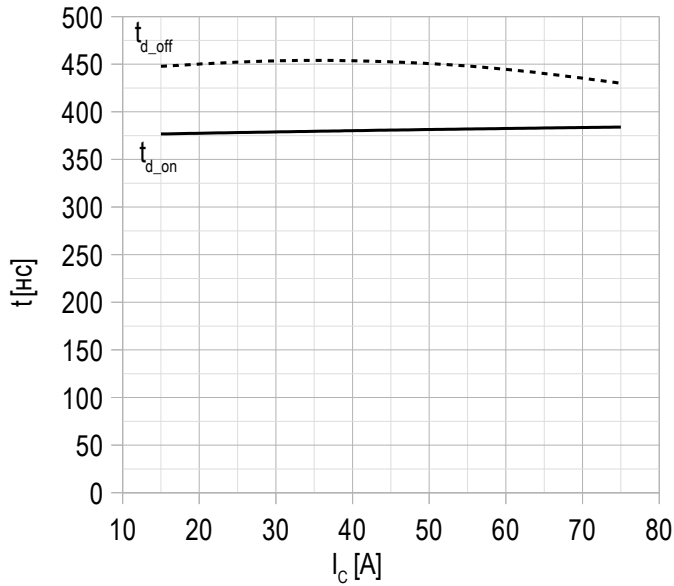
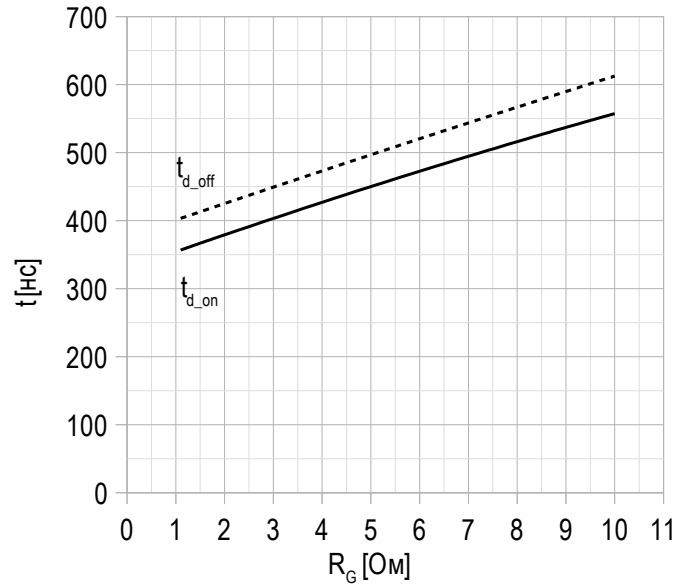
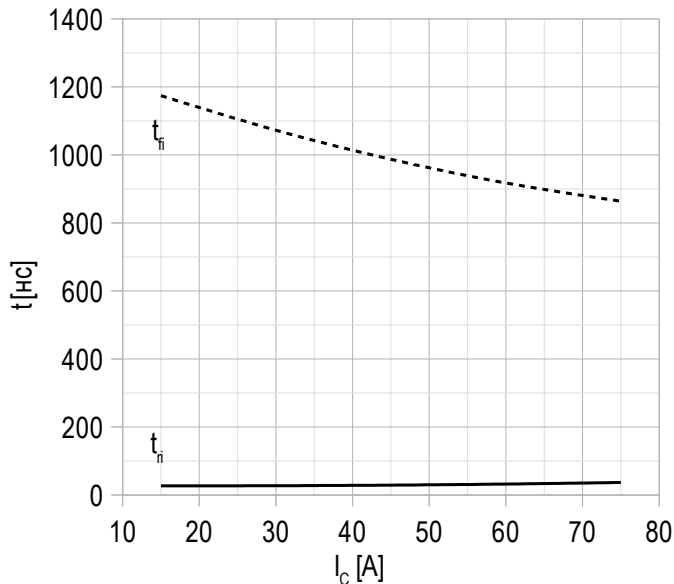
Рисунок 4 – типичная энергия переключения от сопротивления в затворе, IGBT.

 $U_{CE} = 920\text{ V}$;
 $U_{GE} = \pm 15\text{ V}$;
 $I_{Cmax} = 75\text{ A}$;
 $L = 56\text{ нГн}$;
 $T_{vj(max)} = 150^\circ\text{C}$.

Рисунок 5 – типичное время переключения от тока коллектора, IGBT.


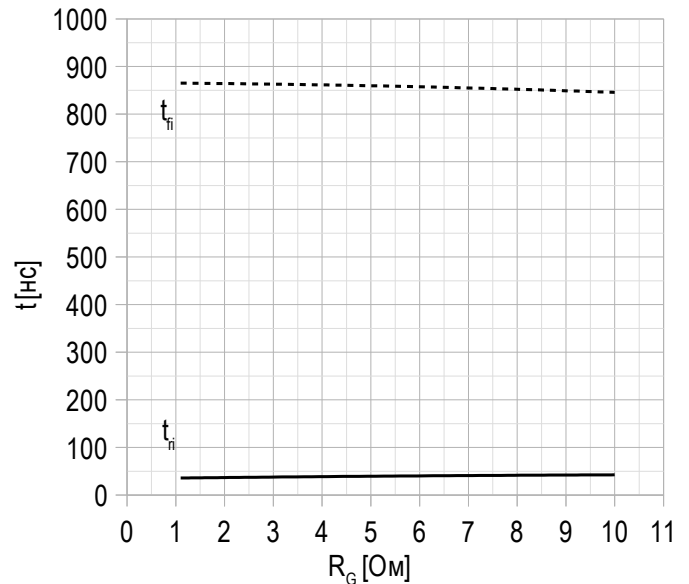
$U_{CE} = 920$ В;
 $U_{GE} = \pm 15$ В;
 $R_G = 2.2$ Ом;
 $L = 56$ нГн;
 $T_{vj(max)} = 150^\circ\text{C}$.

Рисунок 6 – типичное время переключения от сопротивления в затворе, IGBT.


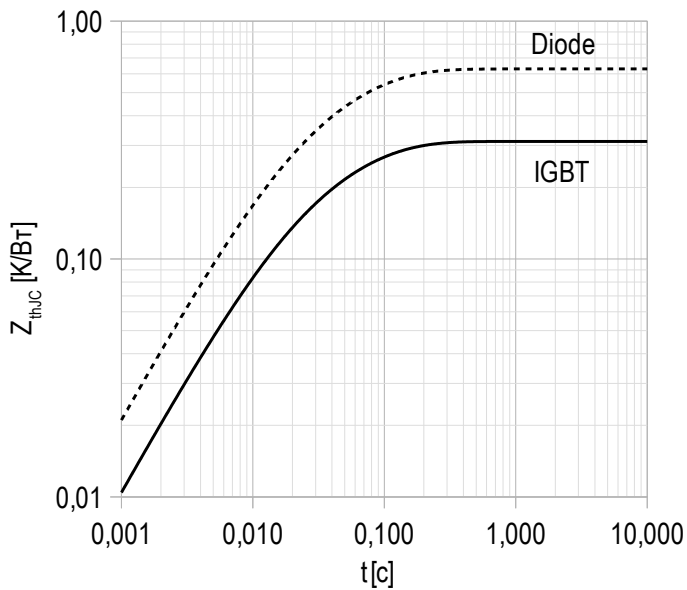
$U_{CE} = 920$ В;
 $U_{GE} = \pm 15$ В;
 $I_{Cmax} = 75$ А;
 $L = 56$ нГн;
 $T_{vj(max)} = 150^\circ\text{C}$.

Рисунок 7 – типичное время переключения от тока коллектора, IGBT.


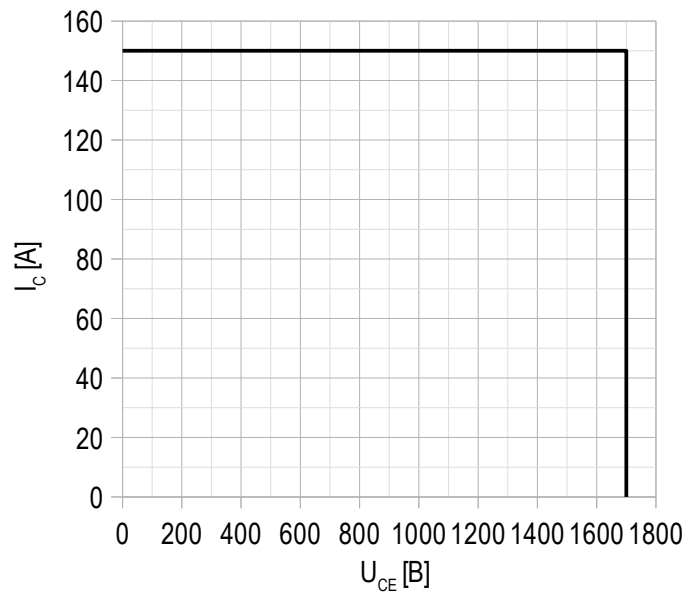
$U_{CE} = 920$ В;
 $U_{GE} = \pm 15$ В;
 $R_G = 2.2$ Ом;
 $L = 56$ нГн;
 $T_{vj(max)} = 150^\circ\text{C}$.

Рисунок 8 – типичное время переключения от сопротивления в затворе, IGBT.


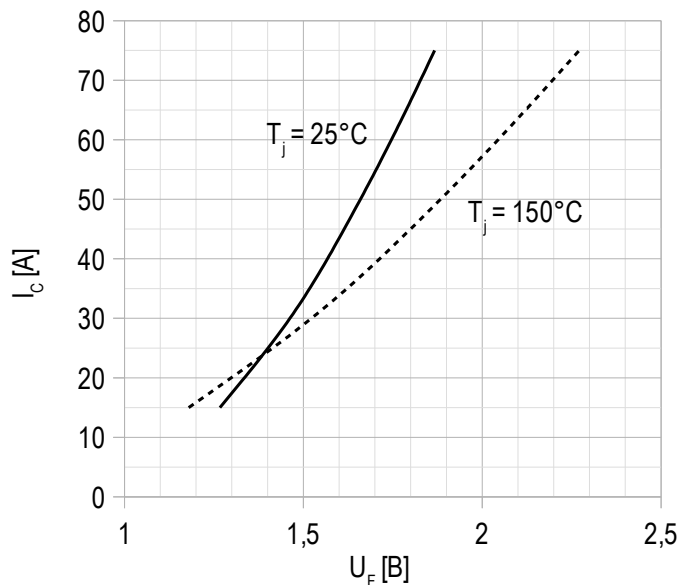
$U_{CE} = 850$ В;
 $U_{GE} = \pm 15$ В;
 $I_{Cmax} = 75$ А;
 $L = 56$ нГн;
 $T_{vj(max)} = 150^\circ\text{C}$.

Рисунок 9 – максимальное переходное тепловое сопротивление.


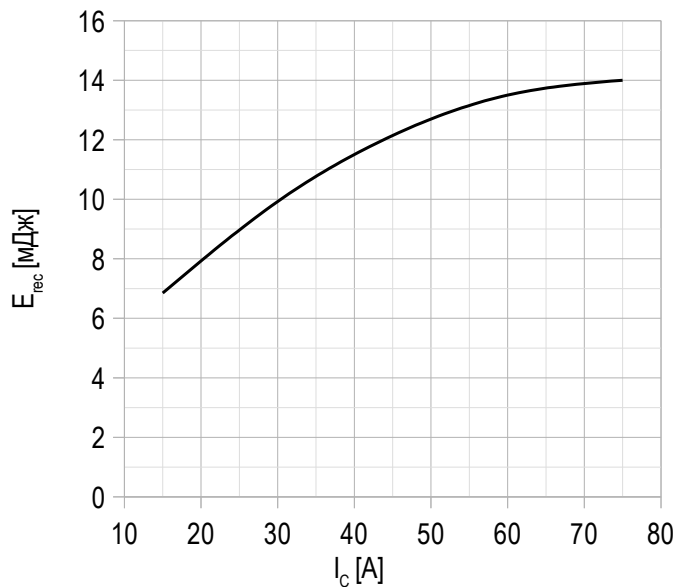
Единичный импульс;
 $U_{GE} = +15$ В.

Рисунок 10 – область безопасной работы при выключении.


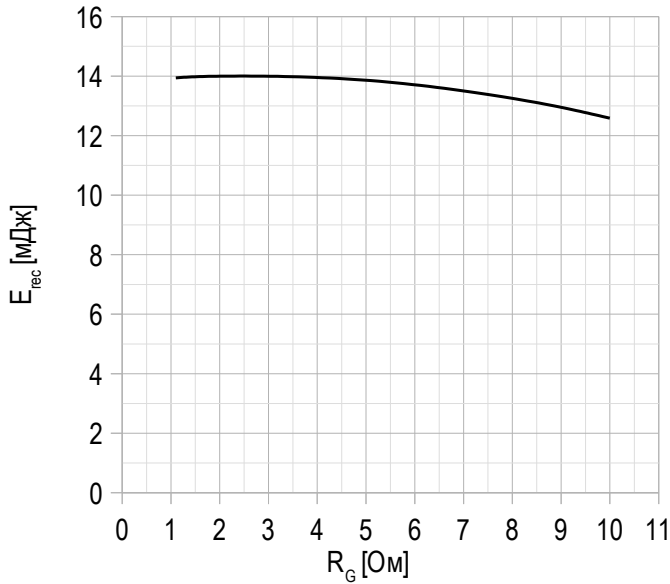
$U_{CE\ max} = 1200$ В;
 $U_{GE} = \pm 15$ В;
 $I_{C\ max} = 2 \cdot I_{C\ nom}$;
 $R_G = 1.5$ Ом;
 $L = 56$ нГн.

Рисунок 11 – типичная прямая характеристика, FRD.


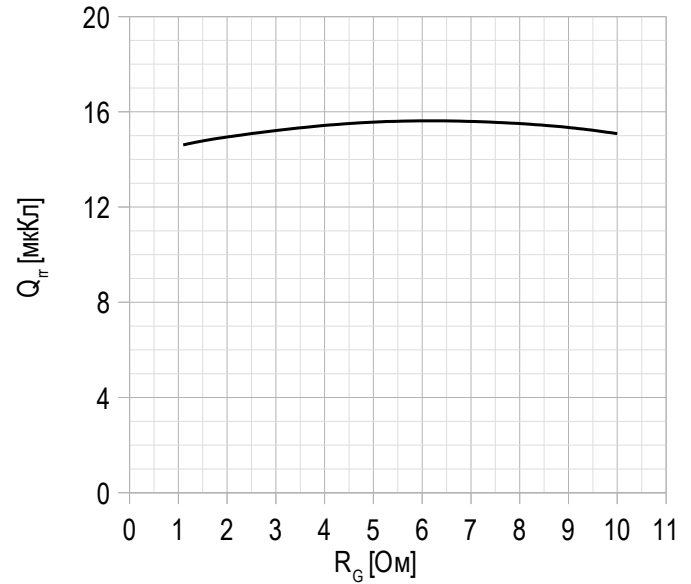
$U_{GE} = +15$ В.

Рисунок 12 – типичная энергия рассеиваемая при восстановлении от тока коллектора, FRD.


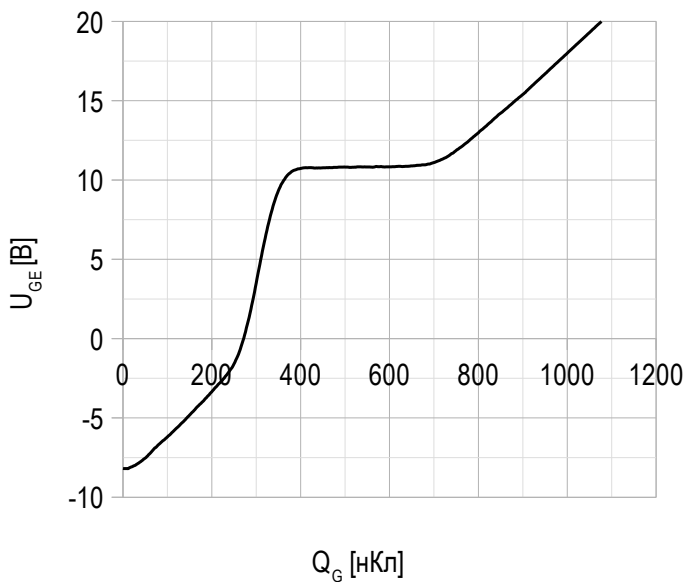
$U_{GE} = \pm 15$ В;
 $U_{CE} = 920$ В;
 $L = 56$ нГн;
 $R_{G\ on} = 2.2$ Ом;
 $T_{vj\ (max)} = 150^\circ\text{C}$.

Рисунок 13 – типичная энергия рассеиваемая при восстановлении от сопротивления в затворе, FRD.


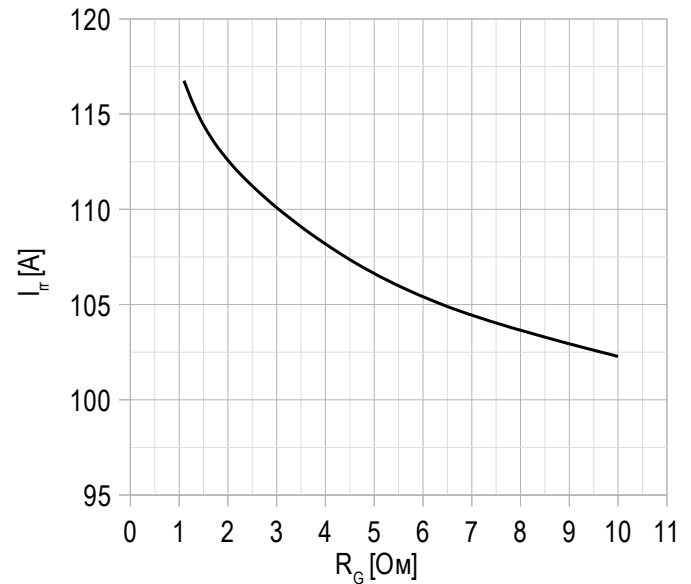
$U_{GE} = \pm 15$ В;
 $U_{CE} = 920$ В;
 $I_{Cmax} = 75$ А;
 $L = 56$ нГн;
 $T_{vj(max)} = 150^\circ\text{C}$.

Рисунок 14 – типичная зависимость заряда обратного восстановления от сопротивления в затворе, FRD.


$U_{GE} = \pm 15$ В;
 $U_{CE} = 920$ В;
 $I_{Cmax} = 75$ А;
 $L = 56$ нГн;
 $T_{vj(max)} = 150^\circ\text{C}$.

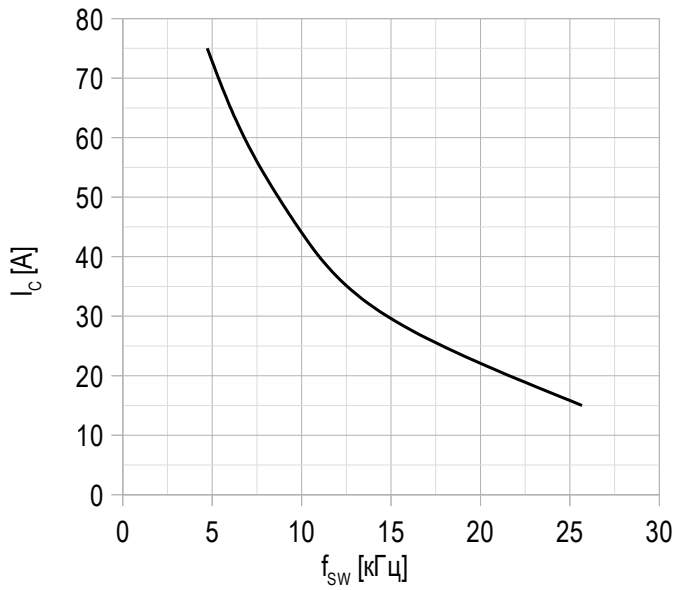
Рисунок 15 – типичная характеристика заряда затвора.


$I_C = 75$ А;
 $U_{CE} = 920$ В;
 $U_{GE} = -8 \div 15$ В.

Рисунок 16 – типичная зависимость тока обратного восстановления от сопротивления в затворе, FRD.


$U_{CE} = 920$ В;
 $U_{GE} = \pm 15$ В;
 $L = 56$ нГн;
 $T_{vj(max)} = 150^\circ\text{C}$.

Рисунок 17 – типичная зависимость тока коллектора от частоты.



Скважность 50%;
 $T_c = 80$ °C;
 $T_{vj(max)} = 175$ °C.

